

การประชุมวิชาการเครือข่ายวิศวกรรมเครื่องกลแห่งประเทศไทยครั้งที่ 14  
2-3 พฤษภาคม 2543 โรงแรม โนโวเทล เชียงใหม่

## ระบบควบคุมโดยใช้คอมพิวเตอร์สำหรับเครื่องทดสอบวัสดุ

### A Computer Control System for Material Testing Machines

วิทยา ยงเจริญ และ อภิชาต อรุณคุณารักษ์  
ภาควิชาวิศวกรรมเครื่องกล คณะวิศวกรรมศาสตร์ จุฬาลงกรณ์มหาวิทยาลัย  
กรุงเทพมหานคร 10330

โทร (662) 218-6610 โทรสาร (662) 252-2889, E-mail: fmewyc@eng.chula.ac.th

Witthaya Yongchareon and Apichart Arunkunarax

Department of Mechanical Engineering, Faculty of Engineering, Chulalongkorn University  
Bangkok 10330, Thailand

Tel: (662) 218-6610 Fax: (662) 252-2889

#### บทคัดย่อ

ระบบควบคุมสำหรับเครื่องทดสอบวัสดุ ประกอบด้วยเครื่องคอมพิวเตอร์ส่วนบุคคลที่ทำหน้าที่เป็นตัวควบคุมและเก็บข้อมูลการทำงาน อุปกรณ์วัดแรงและระยะทาง อุปกรณ์ทำงานแบบเซอร์โววอล์ฟ บอร์ดแปลงข้อมูล ADC, DAC และระบบตันกำลังไไซดรอลิกส์ ระบบควบคุมนี้สามารถทำการหาค่าความเค้นตึง ความเค้นอัด และความล้ำของวัสดุ ผู้ใช้งานสามารถปรับพารามิเตอร์ ต่างๆ ของระบบได้ทางหน้าจอคอมพิวเตอร์ เช่น ค่าเกนพีไอดี ระยะเวลาการสัมม อัตราการเพิ่มของแรง ความถี่ และรูปแบบของแรงที่กระทำได้ หลังจากทำการทดสอบแล้วระบบจะสามารถแสดงผลและพิมพ์ผลการทดสอบ และกราฟได้

โปรแกรมควบคุมสำหรับเครื่องทดสอบวัสดุนี้ได้ถูกพัฒนาขึ้นจาก Microsoft Visual Basic 6.0 เชื่อมต่อ กับระบบฐานข้อมูลที่พัฒนาจาก Microsoft Access 97 ผ่านทาง ODBC (Open Database Connectivity)

ผลจากการทดลองใช้งานจะได้ค่าความผิดพลาดเป็น 6.3% 4.4% 8.5% และ 2.6% สำหรับการควบคุมแบบ พี พีไอ พีดี และพีไอดี ตามลำดับ

#### Abstract

Material testing machine control system contains of personal computer that works as the controller and data collector for force sensor, displacement sensor, ADC board, DAC board and Hydraulics supply. This control system can measure tensile stress, compressive stress and fatigue. User can adjust parameters e.g. PID gain, sampling time, force rate, frequency and force type from monitor. After test, system can show the result in the report and graph form.

This program is developed from Microsoft Visual Basic 6.0 that link to Microsoft Access 97 Database via ODBC (Open Database Connectivity).

From the experiment, the errors are 6.3%, 4.4%, 8.5% and 2.6% for P, PI, PD, and PID control respectively.

#### วัตถุประสงค์

ทำการสร้างและพัฒนาระบบควบคุมสำหรับเครื่องทดสอบวัสดุระบบไฮดรอลิกส์ โดยใช้

ไมโครคอมพิวเตอร์ในการควบคุม ให้สามารถหา ความเด่นดึง ความคุ้นเคย และความล้าของวัสดุ รวมทั้ง ออกแบบระบบติดต่อระหว่างอุปกรณ์กับผู้ใช้ให่ง่ายต่อการใช้งาน

### แนวคิดและทฤษฎี

#### การควบคุมแบบบันทึกกลับ (Feedback Control)

ในระบบควบคุมแบบอัตโนมัติ (Automatic Controller) นั้นจะมีการสร้างสัญญาณ ควบคุม (Control Signal) ที่สามารถเป็นตัวลด หรือปรับค่าที่ได้ออกมาจริง (Actual Value) จาก ระบบให้มีค่าเบี่ยงเบนไปจากค่าที่เราต้องการ (desired value) ให้น้อยที่สุดหรือไม่มีเลย [1] ใน ระบบควบคุมอัตโนมัติที่ใช้ในอุตสาหกรรม (industrial automatic controllers) จะมีการนำ การควบคุมแบบพีไอดี (PID Control) มาใช้ค่อนข้างมากโดยรูปแบบของตัวควบคุมจะมีดังนี้ [2]

- การควบคุมแบบพี (P Control)
- การควบคุมแบบพีไอ (I Control)
- การควบคุมแบบพีดี (D Control)
- การควบคุมแบบพีไอดี (PI Control)
- การควบคุมแบบพีดี (PD Control)
- การควบคุมแบบพีไอดี (PID Control)

#### การควบคุมด้วยคอมพิวเตอร์ (Computerized Control)

สำหรับการควบคุมแบบพีไอดี ตามที่ กล่าวมาแล้วข้างต้นนั้น จะเป็นการควบคุมแบบแอนalog (Analog Control) ดังนั้นเมื่อต้องการนำ มาใช้ควบคุมโดยอาศัยไมโครคอมพิวเตอร์ ซึ่งเป็น การควบคุมแบบดิจิตอล (Digital Control) จึงจำเป็นต้องมีการดัดแปลงลักษณะของตัวควบคุม โดยจากการควบคุมแบบแอนalog [3]

$$m(t) = K_p c(t) + K_i \int_0^t c(t) dt + K_d \frac{dc(t)}{dt} + m_n$$

ซึ่งประกอบด้วย 3 ส่วนคือ

##### 1> Proportional Control

$$(\Delta m_n)_p = K_p(e_n - e_{n-1})$$

##### 2> Integral Control

$$(\Delta m_n)_i = m_n - m_{n-1} = K_p K_I T e_n; \quad T = \text{sample interval}$$

##### 3> Derivative Control

$$(\Delta m_n)_d = m_n - m_{n-1} = K_p K_d (e_n - 2e_{n-1} + e_{n-2})/T$$

และเมื่อนำมารวมกันทั้งสามส่วนจะได้เป็นการ ควบคุมแบบ PID คือ

$$\Delta m_n = (\Delta m_n)_p + (\Delta m_n)_i + (\Delta m_n)_d$$

หรือ

$$\Delta m_n = m_n - m_{n-1} = K_0 e_n + K_1 e_{n-1} + K_2 e_{n-2}$$

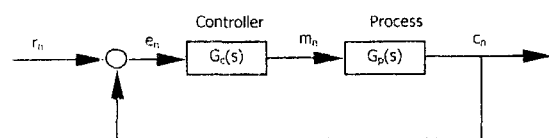
โดยที่

$$K_0 = K_p + K_I T + K_d / T$$

$$K_1 = -K_p - 2K_d / T$$

$$K_2 = K_d / T$$

ขั้นตอนการควบคุมด้วยไมโครคอมพิวเตอร์



รูปที่ 1 บล็อกค่าโดยแกรมแสดงการควบคุม แบบโคลลสูลป

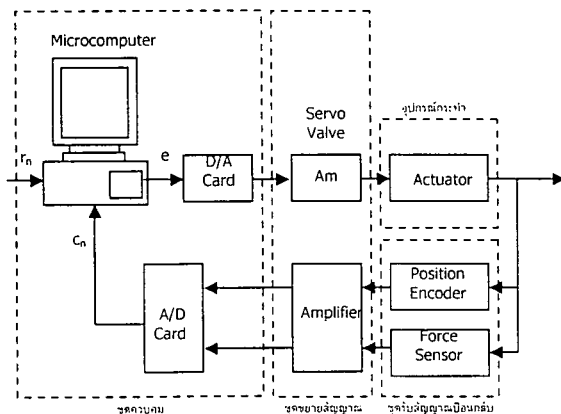
#### อัลกอริธึมที่ใช้ในการควบคุม

ในการควบคุมด้วยคอมพิวเตอร์จะมีขั้นตอนการ ทำงานดังนี้

1. สมค่า  $c_n$
2. คำนวณค่า  $e_n = r_n - c_n$
3. คำนวณค่า  $m_n = p_n + k_0 e_n$
4. เอาท์พุตค่า  $m_n$
5. คำนวณค่า  $m_{n-1}$ ,  $e_{n-1}$ , และ  $e_{n-2}$  ใหม่ (แทนค่า)
6. ทำการคำนวณค่า  $p_n = m_{n-1} + k_1 e_{n-1} + k_2 e_{n-2}$  ล่วงหน้า

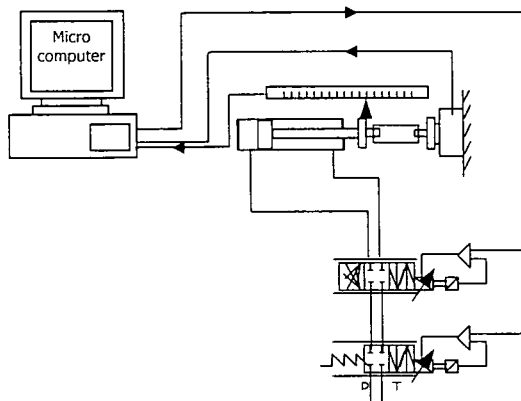
#### อุปกรณ์ของเครื่องทดสอบวัสดุ

ในชุดอุปกรณ์นี้จะประกอบด้วยส่วนของ ตัวควบคุม ชุดขยายสัญญาณ อุปกรณ์กระทำ และ เซนเซอร์รับสัญญาณป้อนกลับ ดังรูปที่ 2



รูปที่ 2 ส่วนประกอบของชุดอุปกรณ์ทดสอบวัสดุ

โดยในการทำงานผู้ใช้จะโปรแกรมการทำงานที่ไม่icroคอมพิวเตอร์ ตั้งค่าสภาวะการทำงาน และพารามิเตอร์ในการควบคุมต่างๆ จากนั้นคอมพิวเตอร์ก็จะส่งสัญญาณออกมายอดโดยผ่านทางการ์ดแปลงสัญญาณดิจิตอลไปเป็นสัญญาณอนาล็อก และผ่านอุปกรณ์ขยายสัญญาณเพื่อความคุ้ม瓦ล์วไฮดรอลิกซึ่งมีหัวชุดที่คุ้มทิศทางของระบบอุกสูบ และชุดควบคุมแรงดันภายในระบบอุกสูบ เมื่อระบบอุกสูบกระทำการต่อชิ้นงานก็จะเกิดการเปลี่ยนแปลงระยะทาง และ/หรือ แรงที่กระทำการต่อชิ้นงาน เราจึงใช้ตัววัดสัญญาณวัดสัญญาณการเคลื่อนที่ของชิ้นงาน และแรงที่กระทำการกับชิ้นงานออกมายอดกลับไปที่ชุดขยายสัญญาณ ก่อนเข้าไปที่การ์ดแปลงสัญญาณอะนาล็อกไปเป็นดิจิตอล เพื่อนำไปคำนวณผลในการควบคุมครั้งต่อไป ตามรูปที่ 3

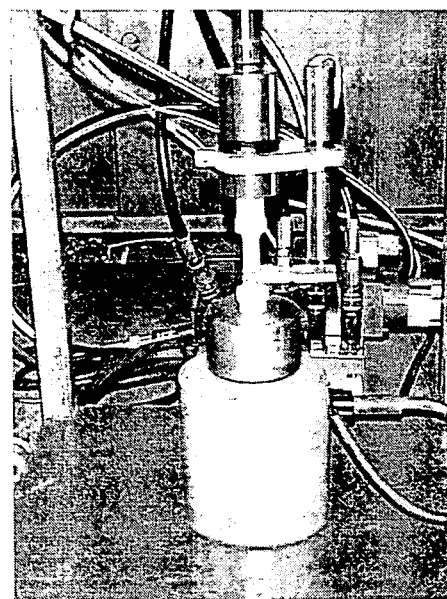


รูปที่ 3 การติดตั้งอุปกรณ์ไฮดรอลิกส์ เช่นเซอร์และตัวควบคุม

### เช่นเชอร์

อุปกรณ์เช่นเชอร์ที่ใช้จะมีอยู่ 2 ชนิดคือ

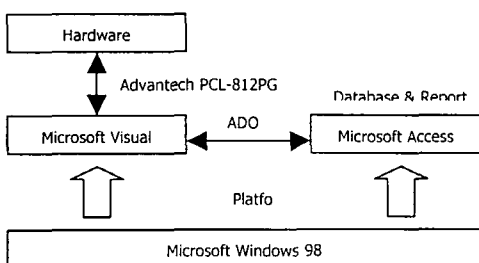
- ชนิดที่ใช้วัดแรง จะเป็นสเตรนเกจ (Strain Gauge)
- ชนิดที่ใช้วัดระยะทาง จะเป็น LVDT (Linear Variable Differential Transformer)



รูปที่ 4 รูปถ่ายชุดอุปกรณ์จับชิ้นงาน และ เช่นเชอร์

### การออกแบบโปรแกรมทดสอบวัสดุ

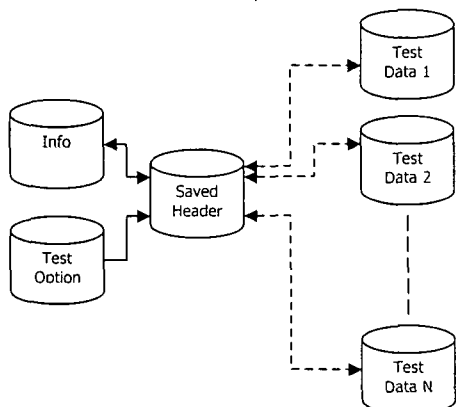
ผู้วิจัยได้เลือกพัฒนาระบบดิดต่อ กับผู้ใช้บน Microsoft Windows 98 สำหรับในการพัฒนา ก็จะใช้โปรแกรม Microsoft Visual Basic 6.0 ใน การพัฒนาระบบดิดต่อ และควบคุมอุปกรณ์ สำหรับการเก็บข้อมูลและการอกรายงานของการทดสอบ ตัวเลือก และข้อมูลต่างๆ จะใช้ระบบฐานข้อมูลของ Microsoft Access 97 โดยผ่านการติดต่อทาง ODBC (Open Database Connectivity) ดังรูปที่ 5



**รูปที่ 5 โปรแกรมที่เลือกใช้ และการติดต่อระหว่างโปรแกรม  
การออกแบบระบบฐานข้อมูล (Database Design)**

ในระบบจะแยกออกเป็น 2 ส่วนคือ ส่วนที่ใช้ในการเก็บข้อมูลเป็นตาราง และส่วนที่ใช้ในการออกแบบ โดยการเก็บข้อมูลนั้นจะแยกออกเป็น 4 ตาราง คือ [4]

- Info (ใช้เก็บลักษณะของชิ้นงานทดสอบ)
- TestMachOption (ใช้เก็บสถานะของการทดสอบอย่างค่าเกณฑ์ของตัวทดสอบ แรงมากที่สุดที่รับได้ก่อนหยุดอุปกรณ์ ฯลฯ)
- TestData (เก็บข้อมูลของการทดสอบ ไม่ว่าจะเป็นแรงที่กำลังกระทำกับชิ้นงาน ระยะยีดของวัสดุ รวมทั้งค่าความดันที่ส่องออกไปควบคุม)
- SavedHeader (ใช้เก็บสถานะของการทดสอบ ณ การทดสอบใดๆ โดยจะเชื่อมกับตาราง Info และดึงค่า TestMachOption ณ ขณะทดสอบมาเก็บไว้)



**รูปที่ 6 แบบจำลองฐานข้อมูล**

### โปรแกรมควบคุมระบบทดสอบ

ในส่วนของโปรแกรมจะแบ่งออกเป็น 3 ส่วน คือ

- 1) ระบบทดสอบวัสดุ (Specimen Test) จะแบ่งออกเป็น 3 ส่วนคือ

1.1) การทดสอบแบบ Manual

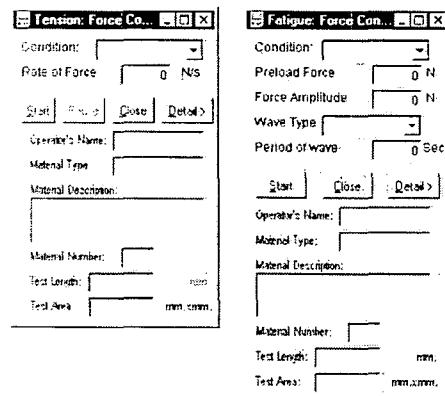
1.2) การทดสอบหาความเค้นตึง และความเค้นอัด

1.3) การทดสอบหาความล้า

ในรูปที่ 7 จะแสดงหน้าจอควบคุมสำหรับการทดสอบความเค้นและความล้า

2) ตัวเลือก (Option) จะเป็นส่วนที่กำหนดสภาวะต่างๆ ของการทดสอบ และเก็บข้อมูลของชิ้นงานทดสอบ

3) ระบบฐานข้อมูล และรายงาน (Database and Reports) เป็นส่วนเก็บข้อมูลและแสดงผลของการทดสอบทั้งหมด



**รูปที่ 7 หน้าจอของการควบคุมชิ้นงานทดสอบ ทั้งที่ใช้เพื่อหาความเค้น และหาความล้า**

### 4.2 การปรับค่าเกนพีไอเดี้ย และการทดสอบ

จากการพิจารณาข้างต้น ผู้วิจัยจึงได้ทำการปรับตั้งค่าพารามิเตอร์พีไอเดี้ยในระบบโดยการทดลองและแก้ไขข้อผิดพลาด (Trial & Error) โดยได้ทดลองใส่ค่าเกนพี (Proportional Gain) อย่างเดียว แล้วค่อยเพิ่มเกนไอ (Integral Gain) อย่างเดียว และลองเพิ่มเกนดี (Derivative Gain) ทุกท้ายปรับแต่ง โดยใช้หั้งพีไอและดี (PID Control)

ในการปรับค่าเกนนี้จะทำโดยการดึงชิ้นงานที่อัตรา 200 นิวตันต่อวินาที จนถึงแรงดึง 1,200 นิวตัน วัสดุที่ใช้คือ อลูมิเนียม พื้นที่ของชิ้นงานทดสอบบริเวณจุดทดสอบคือ 100 มิลลิเมตร และ ความยาวของชิ้นงาน ณ จุดทดสอบ คือ 35 มิลลิเมตร

#### การปรับค่าเกนพี

ที่  $K_p = 4 \times 10^{-4}$  ระบบจะไม่สามารถปรับค่าให้เข้าใกล้ค่าที่กำหนดได้ และเมื่อใช้  $K_p = 14 \times 10^{-4}$  ระบบก็จะไม่มีเสถียรภาพ จึงได้เลือกใช้ค่า  $K_p = 10 \times 10^{-4}$  ซึ่งเป็นค่ากลางระหว่างทั้งสองจุด โดยจะมีค่าเฉลี่ยของความผิดพลาดคือ 74.83 นิวตัน (6.24%) และค่าเบี่ยงเบนมาตรฐานคือ 154.73 นิวตัน (12.89%)

#### การปรับค่าเกนพีไอ

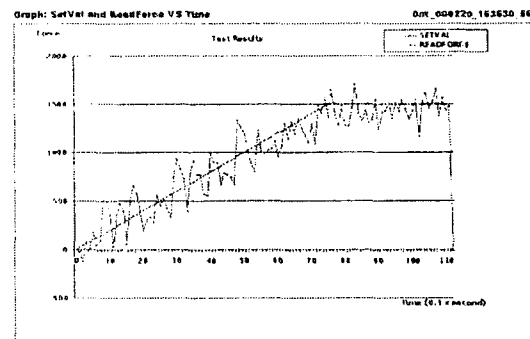
เนื่องจากค่าความผิดพลาดจาก การใส่ค่าเกนพีเพียงอย่างเดียวบังมากอยู่จึงได้ทำการเพิ่มค่าเกนไอเข้าไปในระบบควบคุมด้วยโดย จับพนว่าเมื่อค่า  $K_i = 1 \times 10^{-4}$  ระบบจะไม่มีการเปลี่ยนแปลงแต่อย่างไร ยังคงค่อนข้างคล้ายกับ ระบบที่ไม่มีค่าเกนไอ และเมื่อใส่ค่า  $K_i = 20 \times 10^{-4}$  ระบบจะมีค่าความผิดพลาดที่ช่วงเริ่มต้นการทดสอบค่อนข้างมาก จึงเลือกใช้ค่า  $K_i = 10 \times 10^{-4}$  ซึ่งจะพบว่าระบบจะติดตามค่าความผิดพลาดได้เร็วขึ้น โดยจะมีค่าเฉลี่ยของความผิดพลาดคือ 52.94 นิวตัน (4.41%) และค่าเบี่ยงเบนมาตรฐาน ที่ 176.62 นิวตัน (14.72%)

#### การปรับค่าเกนพีดี

จากนั้นจึงได้ทดลองใส่ค่าเกนดีโดยจะ พบว่าเมื่อใส่ค่า  $K_d$  เข้าไปในระบบ ระบบจะแก่วิ่ง คือเกิดความไม่มีเสถียรภาพขึ้น แม้ว่าจะลดค่า  $K_d$  ลงมาผลการตอบสนองของระบบก็ไม่ดีขึ้น โดย เมื่อ  $K_d = 0.08 \times 10^{-4}$  ค่าเฉลี่ยของความผิดพลาดจะอยู่ที่ 101.92 นิวตัน (8.49%) และค่าเบี่ยงเบน มาตรฐานอยู่ที่ 146.45 นิวตัน (12.21%)

#### การปรับค่าเกนพีไอดี

สุดท้ายจึงได้มีการทดลองใส่ค่าเกนพี เกนไอ และเกนดี โดยที่ได้ทดลองใส่ค่า  $K_p = 10 \times 10^{-4}$ ,  $K_i = 10 \times 10^{-4}$  และ  $K_d = 0.1 \times 10^{-4}$  โดยจะ มีค่าเฉลี่ยของความผิดพลาดอยู่ที่ 31.04 นิวตัน (2.59%) และค่าเบี่ยงเบนมาตรฐานเท่ากับ 163.20 นิวตัน (13.60%) ดังรูปที่ 8



รูปที่ 8 การปรับค่าพารามิเตอร์ในการควบคุม โดย ค่าเกนพี =  $10 \times 10^{-4}$  ค่าเกนไอ =  $10 \times 10^{-4}$

$$\text{ค่าเกนดี} = 0.1 \times 10^{-4}$$

#### การทดสอบอุปกรณ์

ในการทดสอบนี้จะให้อุปกรณ์ทำการทดสอบกับชิ้นงานที่เป็นพลาสติกชนิด POM ซึ่ง เป็นพลาสติกวิศวกรรมที่มีความยืดหยุ่นสูง

#### การทดสอบหาความเค้นกด

ในการทดสอบหาความเค้นกดของวัสดุ ส่วนของรายงานชุดแรกจะเป็นลักษณะของชิ้นงานทดสอบ สรุปว่า การทดสอบ สรุปว่าของการทดสอบ ดังรูปที่ 9 ส่วนใหญ่ที่สองจะเป็นข้อมูลดิบของการทดสอบ คือสถานะต่างๆ ของอุปกรณ์ไม่ว่าจะเป็นค่าแรงดันที่สั่งจากบอร์ดควบคุม(คอมพิวเตอร์) ค่าแรงหรือระยะทางที่อ่านได้จากเซนเซอร์ ณ เวลาใดๆ ดังรูปที่ 10 จากนั้นในรูปที่ 11 จะเป็นกราฟของ SetVal & ReadForce VS Time กราฟนี้จะเป็น การนำข้อมูลจากข้อมูลดิบที่บันทึกไว้ มาพล็อตกราฟ ข้อมูลที่นำมาพล็อตก็จะมีค่าแรงที่ระบบต้องการให้ระบบอุกสูบกระทำกับชิ้นงาน เทียบกับ ค่าแรงที่ระบบอุกสูบกระทำกับชิ้นงานจริงๆ ณ เวลาใดๆ เมื่อพิจารณากราฟจะพบว่าระบบสามารถทดสอบชิ้นงานด้วยอัตราแรงกดที่เพิ่มขึ้น (Test Rate) 200 นิวตันต่อวินาที จนถึงจุดที่แรง

กตประมาณ 4800 นิวตันแล้วระบบก็จะไม่สามารถให้แรงกดซึ่งงานเพิ่มขึ้นไปได้อีก เนื่องจากข้อจำกัดของขนาดกระบอกสูบ ในการหาค่า Absolute ของความผิดพลาดเฉลี่ยของแรงที่กระทำจริงเทียบกับแรงที่สั่งจากคอมพิวเตอร์ในช่วงของแรงกระทำดังต่อไปนี้ 0 นิวตันถึง 4,600 นิวตันจะได้เท่ากับ 99.09 นิวตัน และค่าเบี่ยงเบนมาตรฐานของความผิดพลาดคือ 129.07 นิวตัน สำหรับกราฟระหว่างค่า CtrlVal, ReadP-Val และ ReadD-Val ณ เวลาใดๆ จะแสดงในรูปที่ 12 เมื่อพิจารณาดูจะพบว่าค่า CtrlVal นั้นเริ่มต้นจาก 5 โวลต์ เนื่องจากบอร์ด PCL-812 PG สามารถให้เอ้าท์พุกอยู่ในช่วง 0 ถึง 10 โวลต์ แต่สำหรับบอร์ดขยายสัญญาณเพื่อควบคุมวัล์วควบคุมทิศทางของกระบอกสูบจะต้องการรับอินพุตในช่วง ~ 10 ถึง 10 โวลต์ ทางผู้วิจัยจึงได้ใช้บอร์ดอ่อนแอมป์เพื่อยายสัญญาณสองเก่า และเลื่อนช่วงของการควบคุม ดังนั้นค่า 5 โวลต์ที่บอร์ด PCL-812 PG จะแปลงเป็น 0 โวลต์ที่บอร์ดขยายสัญญาณของวัล์วควบคุมทิศทางกระบอกสูบ หลังจากนั้นจะพบว่าค่าของแรงดันที่ควบคุมวัล์ว ค่าของแรงดันที่บอร์ดขยายสัญญาณของวัล์วควบคุมความดันในกระบอกสูบ (ReadP-Val) และค่าของแรงดันที่บอร์ดขยายสัญญาณของวัล์วควบคุมความดันในกระบอกสูบ (ReadD-Val) จะเพิ่มขึ้นเรื่อยๆ จนถึงค่าอิมตัวของอุปกรณ์คือ 10 โวลต์ ก็จะไม่สามารถเพิ่มขึ้นต่อไปได้อีก สำหรับกราฟสุดท้ายคือรูปที่ 13 กราฟระหว่างความเด่นกับความเครียดของวัสดุ ผลของกราฟที่ได้ก็พอจะทราบว่าระบบสามารถดึงซึ่งงานได้จนค่าความเด่นประมาณ 48 นิวตันต่อตารางมิลลิเมตร และยังคงอยู่ในช่วงของขีดจำกัดพรอพอชันแนล (Proportional Limit) ออยู่

Test Condition Data Sheet Dat\_000220\_184301\_53

Specimen		
Condition Name	Operator Name	Material Type
POLY	Achorn-Achenbach	PCM
Test Area (Sq. mm)	Test Area (Sq. mm)	
4	100	
Material Description		
Cylindrical, tapered both ends		
Material Number		
1		
File Name		
Dat_000220_184301_53		
Test Condition		
Maximum Allowable Displacement of LVDT (mm)		
1		
Maximum Allowable Force of Strain Gauge (N)		
15000		
Maximum Test Time (s)	Controller Sampling Time (s)	
120	1	
Initial Displacement Value of LVDT for Calibration (mm)		
0.0000		
Kx [Displacement to Volt Conversion Unit]	Kt [Force to Volt Conversion Unit]	
372	1000	
Kp [Proportional Gain]	Ki [Integral Gain]	Kd [Derivative Gain]
0.0102	0.0020	0.0000
LV1 Condition Type	Test Wave Type	
1	0	
Test Rate (s/s)	Test Prelim Force(N)/Disp.(mm)	
0.1	0	
Period of Wave (s)	Force(N)/Disp.(mm) Amplitude	
0	0	
Tested Date		
29-07-18 13:04		

6 April 2010 Page 1 of 1

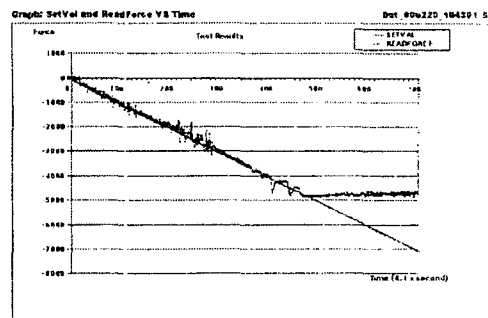
### รูปที่ 9 ลักษณะของซึ่งงานทดสอบ และ สภาวะทดสอบ

Test Data Dat\_000220\_184301\_53

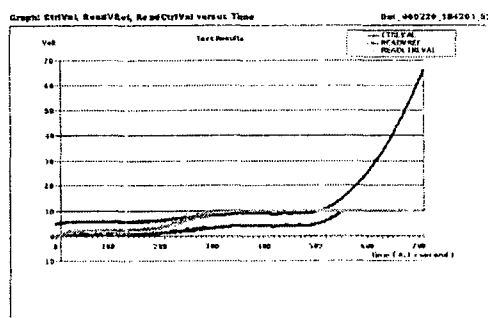
#	CTRLVAL	READ-PVAL	READ-DVAL	READDISP	READFORCE	
	(Volt)	(Volt)	(Volt)	(mm)	(N)	
0	0.00	0.00	0.00	-0.06	-0.0400	0
1	-0.01	0.02	0.02	0.01	-0.038	12
2	0.00	0.01	0.01	0.04	-0.039	32
3	-0.02	0.00	0.02	0.07	-0.039	54
4	-0.03	0.05	0.11	0.25	-0.039	10
5	0.00	0.00	0.07	0.14	-0.040	12
6	0.00	0.00	0.10	0.26	-0.038	20
7	0.00	0.09	0.38	0.18	-0.032	32
8	0.00	0.16	0.11	0.26	-0.039	27
9	0.00	0.19	0.16	0.46	-0.039	22
10	-0.02	0.23	0.21	0.55	-0.039	29
11	-0.03	0.25	0.24	0.66	-0.040	20
12	-0.03	0.24	0.27	0.77	-0.038	14
13	-0.01	0.31	0.35	0.75	-0.039	12
14	-0.01	0.29	0.43	0.91	-0.040	14
15	-0.02	0.30	0.36	0.63	-0.037	13
16	-0.03	0.42	0.32	0.37	-0.037	27
17	-0.01	0.37	0.43	1.24	-0.038	48
18	-0.01	0.49	0.79	1.30	-0.026	74
19	-0.01	0.44	0.43	1.38	-0.038	59
20	-0.01	0.52	0.46	1.01	-0.039	17
21	-0.01	0.56	0.54	1.55	-0.039	22
22	-0.01	0.59	0.53	1.67	-0.039	44
23	-0.01	0.62	0.61	1.73	-0.040	54
24	-0.01	0.75	1.68	1.64	-0.040	77
25	-0.01	0.71	0.77	2.02	-0.067	71
26	-0.01	0.52	0.73	2.11	-0.200	278
27	-0.01	0.59	0.55	1.59	-0.106	244
28	-0.01	0.54	0.61	1.75	-0.139	310
29	-0.01	0.50	0.56	1.99	-0.100	264
30	-0.01	0.63	0.61	1.71	-0.132	342
31	-0.01	0.58	0.64	1.87	-0.100	244
32	-0.01	0.61	0.61	1.76	-0.100	291

6 April 2010 Page 1 of 21

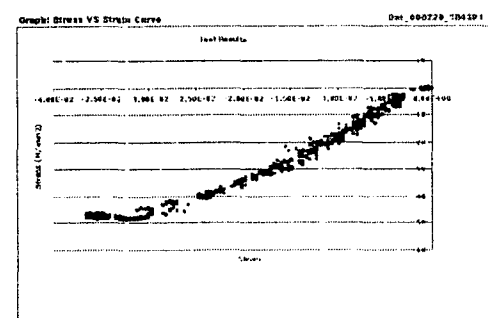
### รูปที่ 10 ข้อมูลดิบของการทดสอบ



รูปที่ 11 กราฟแสดงค่าแรงที่ต้องการให้ระบบทำงานเทียบกับแรงที่ระบบกระทำกับชิ้นงานจริง



รูปที่ 12 กราฟแสดงค่าแรงดันที่ส่งออกไปควบคุมระบบ ณ จุดต่างๆ



รูปที่ 13 กราฟแสดงค่าความเด่นกับความเครียดของวัสดุ

#### การทดสอบหาความล้า

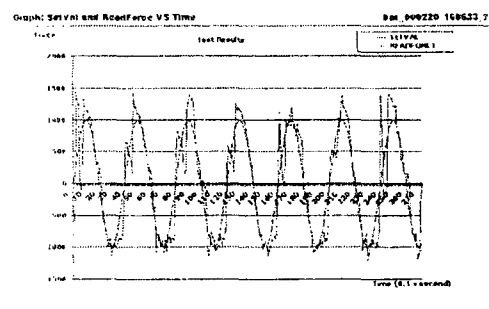
สำหรับการทดสอบหาความล้านี้จะแบ่งออกเป็นสองส่วนคือ

- การทดสอบหาความล้าโดยควบคุมแรงที่กระทำกับชิ้นงานทดสอบ

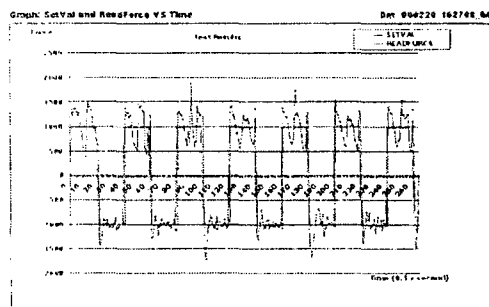
□ การทดสอบหาความล้า โดยควบคุมแรงรูปชายน์ที่กระทำกับชิ้นงาน ดูได้จากรูป 14 จะเป็นการทดสอบหาความล้าโดยควบคุมแรงรูปชายน์ที่มีแอมปลิจูดเท่ากับ 1000 นิวตัน โดยจะมีค่าเฉลี่ยของ Absolute ของความผิดพลาดเท่ากับ 232.4 นิวตัน และค่าเบี่ยงเบนของความผิดพลาดอยู่ที่ 314.22 นิวตัน

□ การทดสอบหาความล้า โดยควบคุมแรงรูปสี่เหลี่ยมที่กระทำกับชิ้นงาน ดูได้จากรูปที่ 15

จากการทดสอบหาความล้าส่วนใหญ่จะพบว่าระบบสามารถควบคุมตามที่คอมพิวเตอร์สั่งได้ ไม่ว่ากราฟรูปชายน์ หรือรูปสี่เหลี่ยม ทั้งแบบไม่มีแรง/ ระยะทางเริ่มต้น หรือมีการตั้งค่าเริ่มต้นของแรง/ ระยะทางทั้งที่เป็นบวก และลบ แต่กราฟที่ได้อาจแสดงให้เห็นว่ามีความผิดพลาดอยู่บ้าง



รูปที่ 14 การทดสอบหาความล้าโดยควบคุมแรงรูปชายน์ กรณีแรงกระทำเริ่มต้น 0 นิวตัน



รูปที่ 15 การทดสอบหาความล้าโดยควบคุมแรงรูปสี่เหลี่ยม กรณีแรงกระทำเริ่มต้น 0 นิวตัน

## สรุป

เครื่องทดสอบวัสดุจะให้แรงดึงมากสุด 1,500 นิวตัน แรงอัดมากสุด 4,800 นิวตัน ที่แรงดันขณะทำงานคือ 60 ปอนด์ต่อตารางนิ้ว นอกจากนี้ยังสามารถวัดระยะยืดหรือหดได้มากสุดที่ 20 มิลลิเมตร ใน การทดสอบดึงชิ้นงานที่อัตรา 200 นิวตันต่อวินาที จนถึงแรงมากสุดที่ 1,200 นิวตัน เมื่อความคุณแบบพื้นอย่างเดียวค่าความผิดพลาดจะเป็น 6.24% แบบพี.ไอ.ค่าความผิดพลาดจะเป็น 4.41% แบบพี.ดี.ค่าความผิดพลาดจะเป็น 8.49% และสำหรับระบบที่ควบคุมแบบพี.ไอ.ดี.ค่าความผิดพลาดจะเท่ากับ 2.59% โดยมีค่าความเบี่ยงเบนมาตรฐานคือ 12.89%, 14.72%, 12.21% และ 13.60% ตามลำดับ จากผลการทดสอบข้างต้นแสดงให้เห็นว่าเมื่อใช้การควบคุมแบบพื้นอย่างเดียวที่สามารถควบคุมระบบไฮดรอลิกส์ได้ และเมื่อเพิ่มการควบคุมแบบพี.ไอ.ดี.ระบบควบคุมจะสามารถตอบสนองต่อการควบคุมได้ดีที่สุด

จากการทดสอบพบว่าระบบสามารถควบคุมได้ในกรณีที่อัตราแรงดึง/กด หรือระยะยืด/หดต่ำ ซึ่งจะเกิด Steady State Error มากขึ้นที่อัตราแรงดึง/กด หรือระยะยืด/หดสูงขึ้น เนื่องจากตัวระบบกระทำเป็นระบบไฮดรอลิกส์ซึ่งเป็นระบบที่ค่อนข้างช้า จึงอาจจะมีช่วงเวลาหน่วง (Delay Time) ออยู่พอสมควรหลังจากที่คอมพิวเตอร์สั่งสัญญาณไปสั่งว่าต้องให้ควบคุมระบบออกสูบ จึงทำให้ผลการตอบสนองไม่สามารถออกมารีบกันเมื่อเทียบกับระบบที่เป็นระบบไฟฟ้าทั้งหมด เช่นระบบควบคุมมอเตอร์

## รายการอ้างอิง

[1] Ogata, Katsuhiko. Modern Control

Engineering. (n.p.): Prentice-Hall Inc.,  
1990.

[2] Johnson, Curtis D. Process Control

Instrumentation Technology 2<sup>nd</sup> Edition.  
(n.p.): John Wiley & Sons, 1982.

[3] Cadzow, James A., Martens, Hinrich R.,  
Discrete Time and Computer Control System. New Jersey: Prentice-Hall  
Inc., 1970.

[4] กิตติ ภักดีวัฒนาภูล, จำลอง คุณภาพสานะ.  
คัมภีร์ระบบฐานข้อมูล: บริษัท เคทีพี  
คอมพ์ แอนด์ คอนซัลท์ จำกัด, พ.ศ. 2542